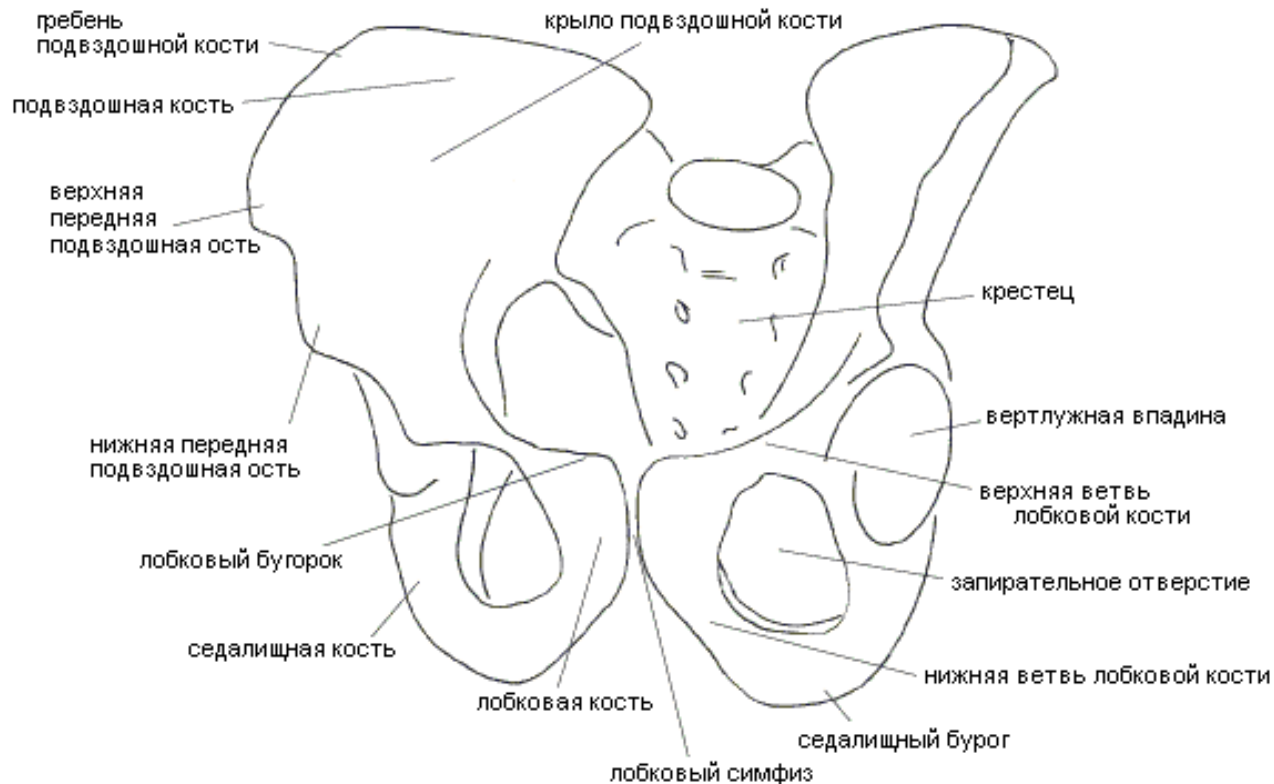
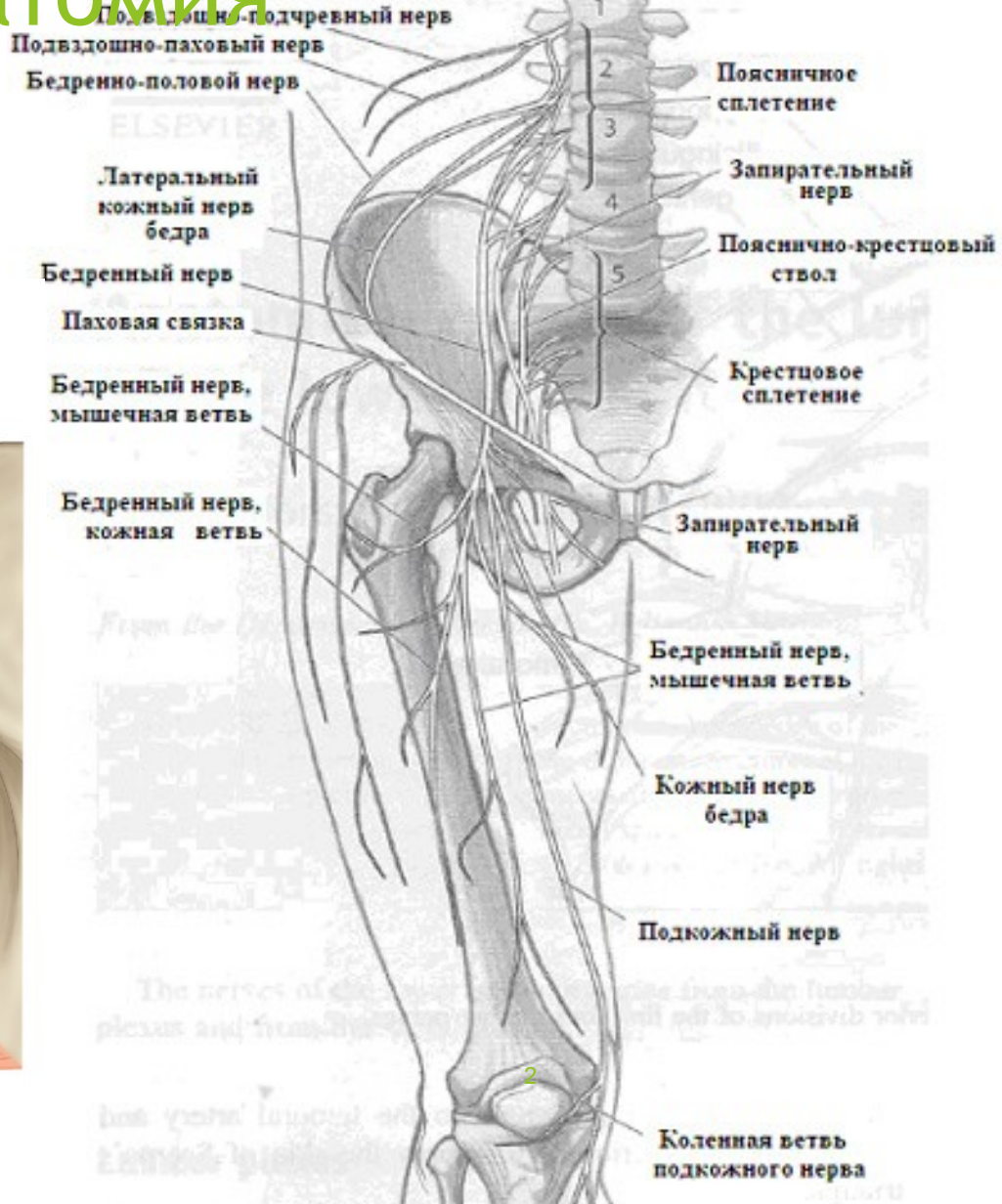
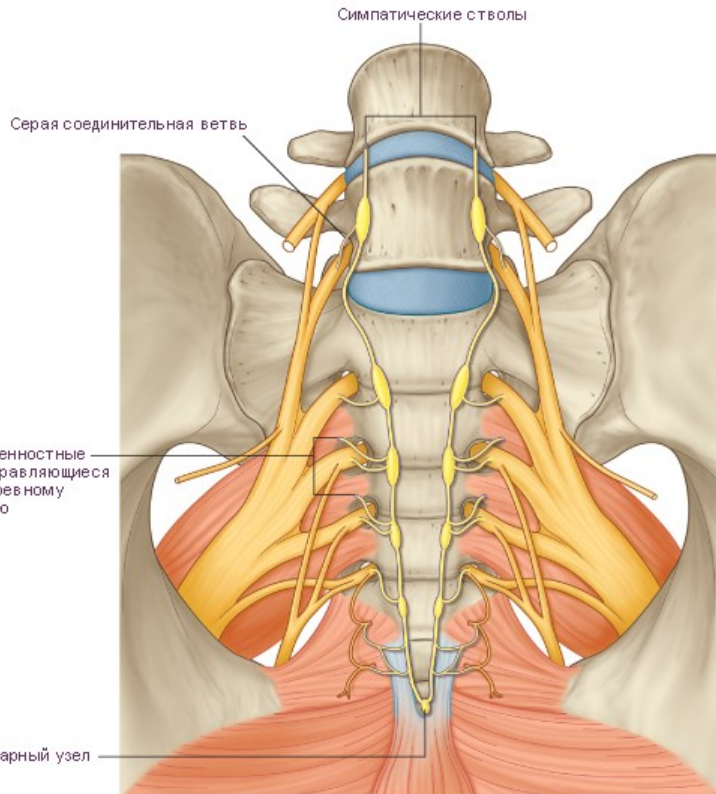


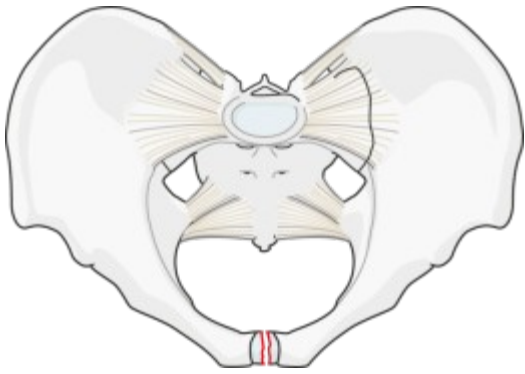
Анатомия костных структур



► Выполнил: Пандрак А.И.

Клиническая анатомия



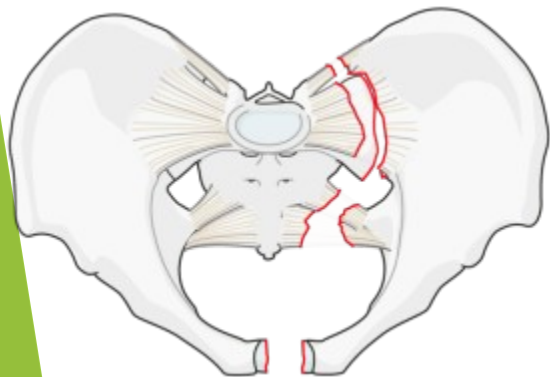
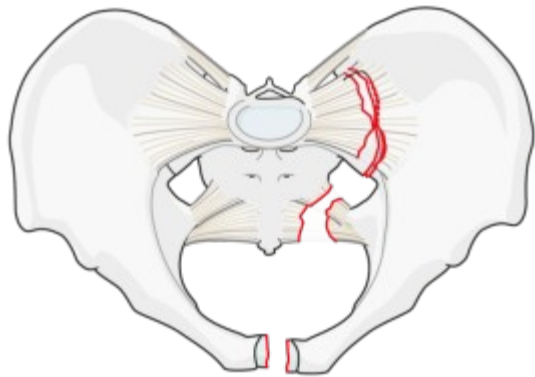


Связки как стабилизаторы тазового кольца

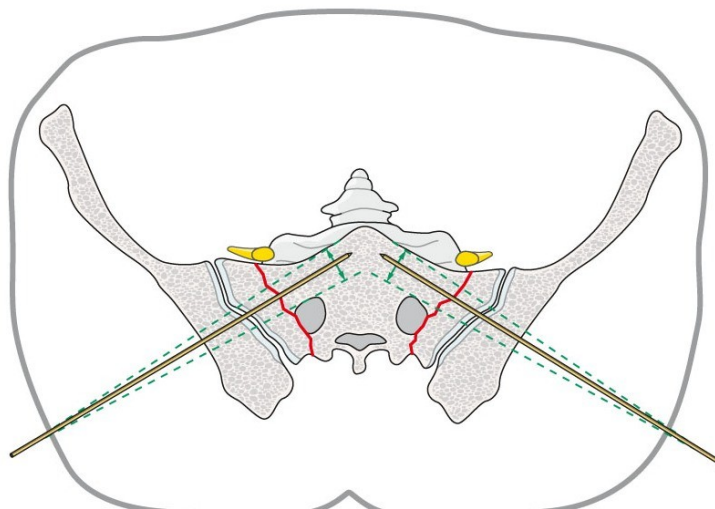
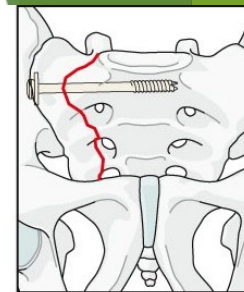
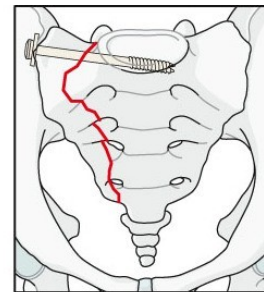
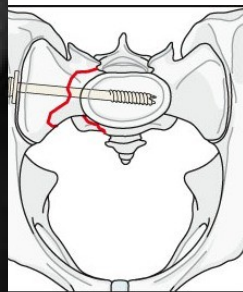
Повреждения только симфиза не вызывают нестабильности тазового кольца

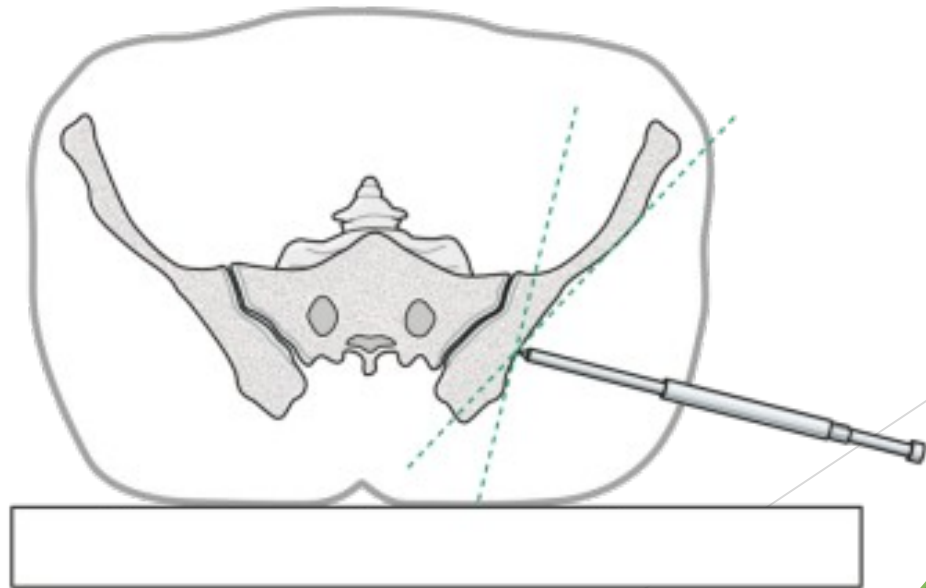
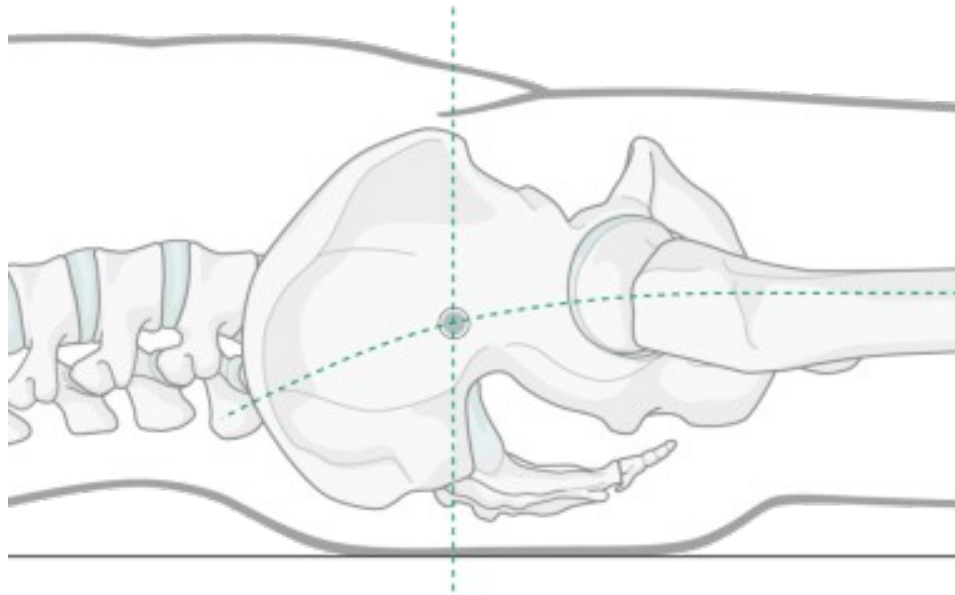
Частичное повреждение заднего связочного комплекса вызывает ротационную нестабильность

Полное повреждение заднего связочного комплекса вызывает ротационную и вертикальную нестабильность

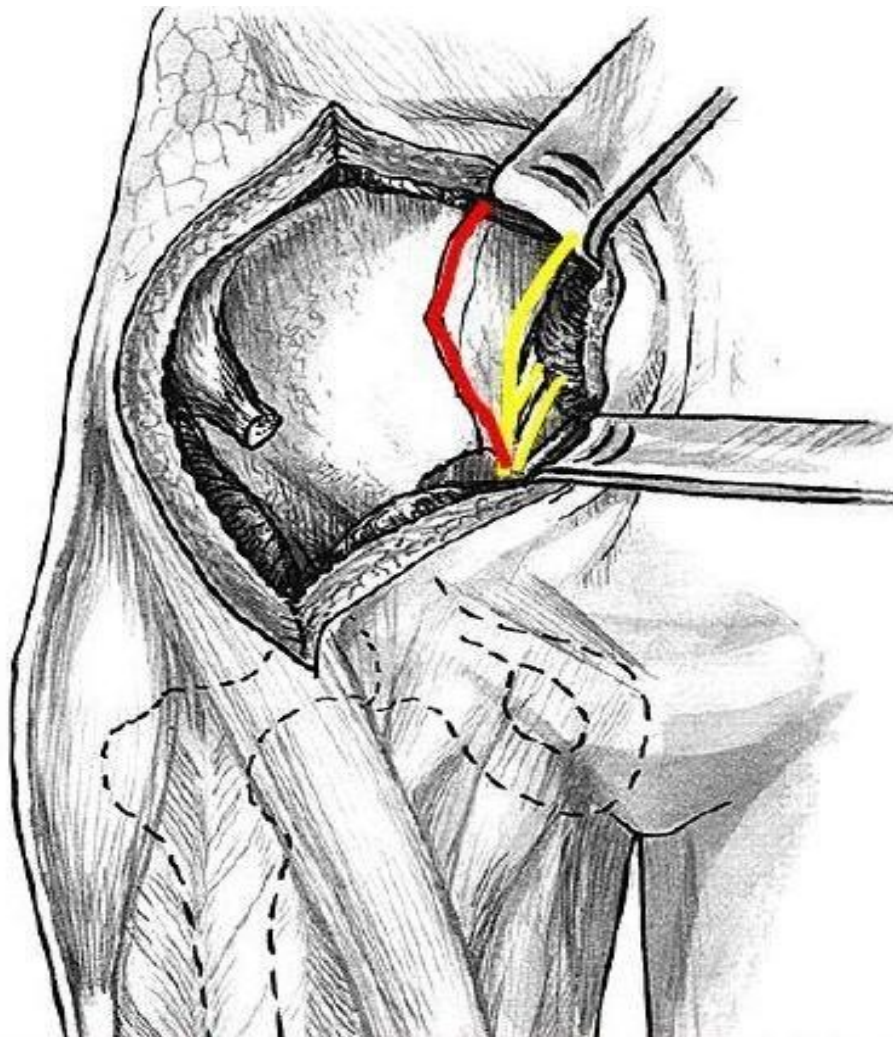


Техника проведения илеосакральных винтов





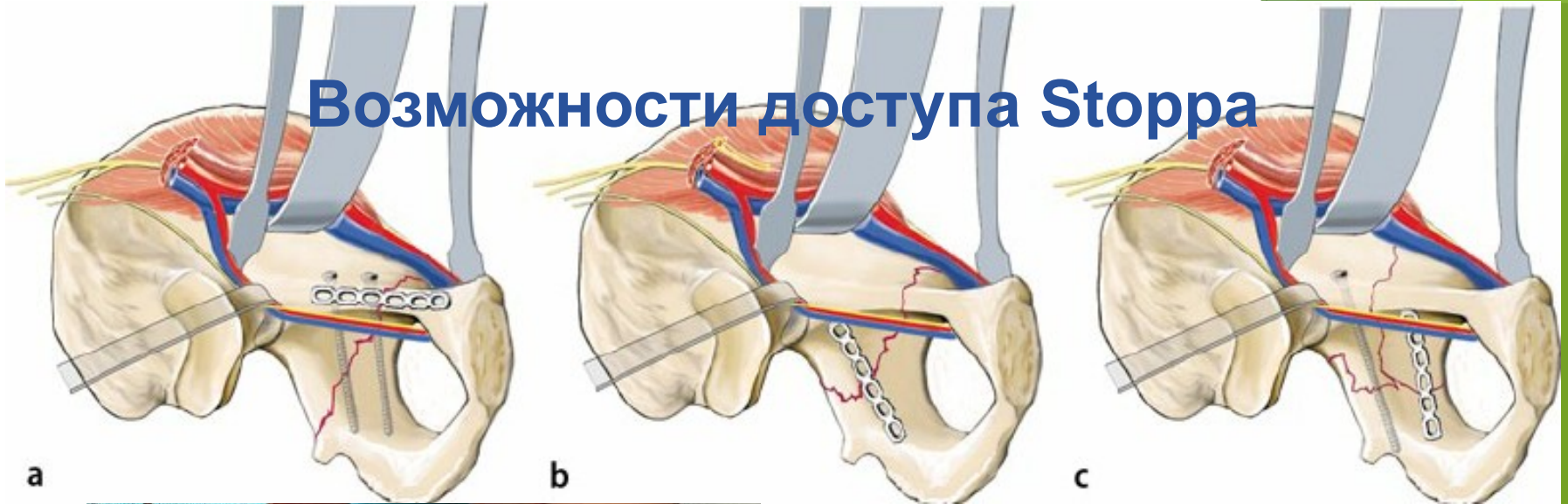
Обзор используемых хирургических доступов:

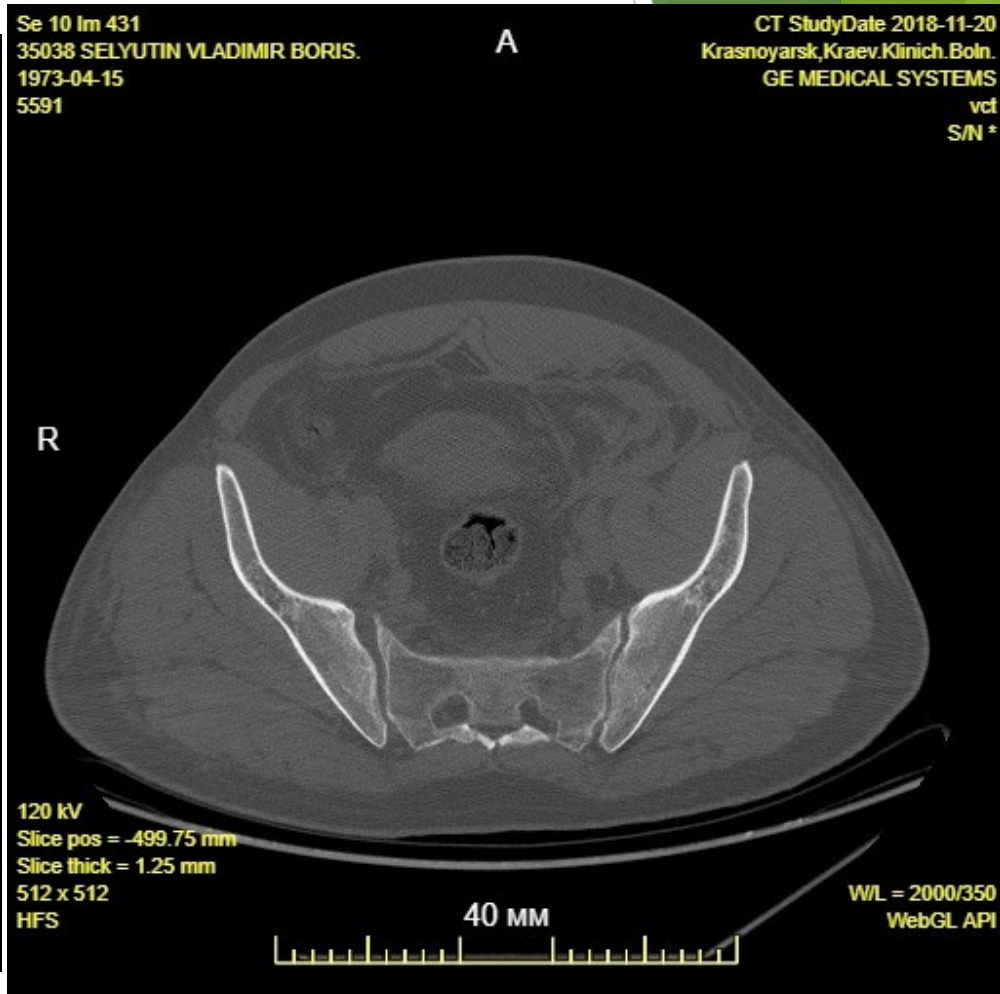
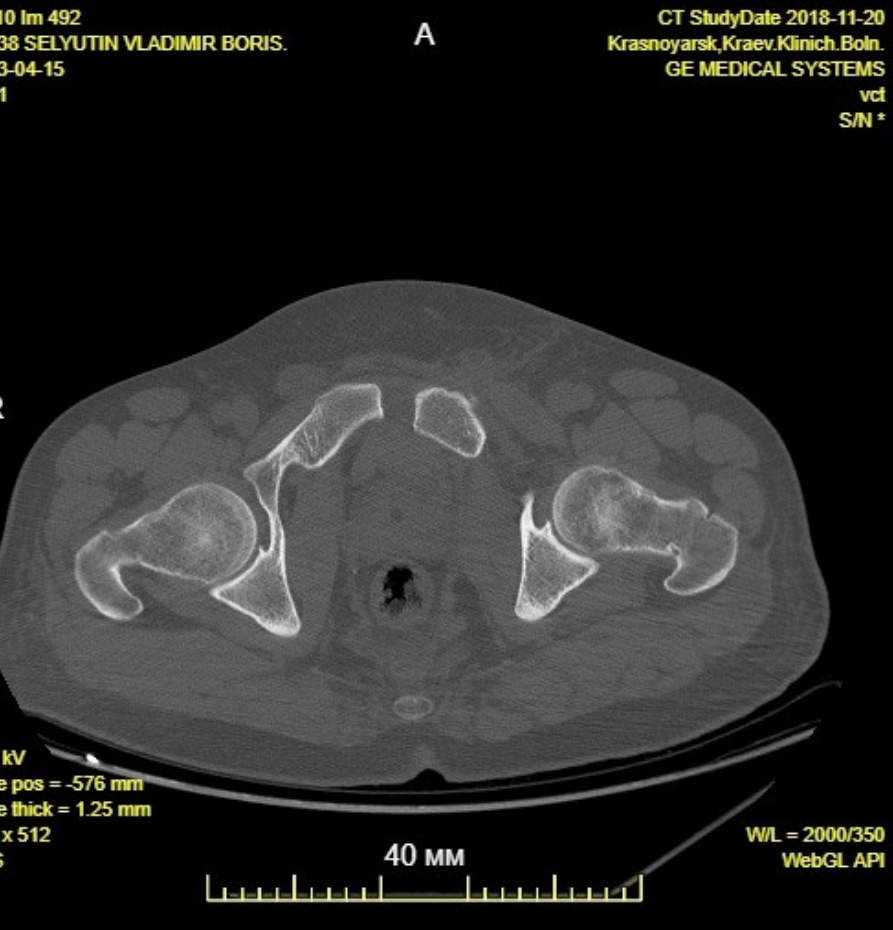


Обзор используемых хирургических доступов: Stoppra



Возможности доступа Stopra





10/1/2018 11:26
672 СЕВЯТИН ВЛАДИМИР БОРИСОВИЧ
07/3-04-15

DX Study Date: 2018-11-26
KGBUZ KKB
Carestream Health
R010162005
SN 010162

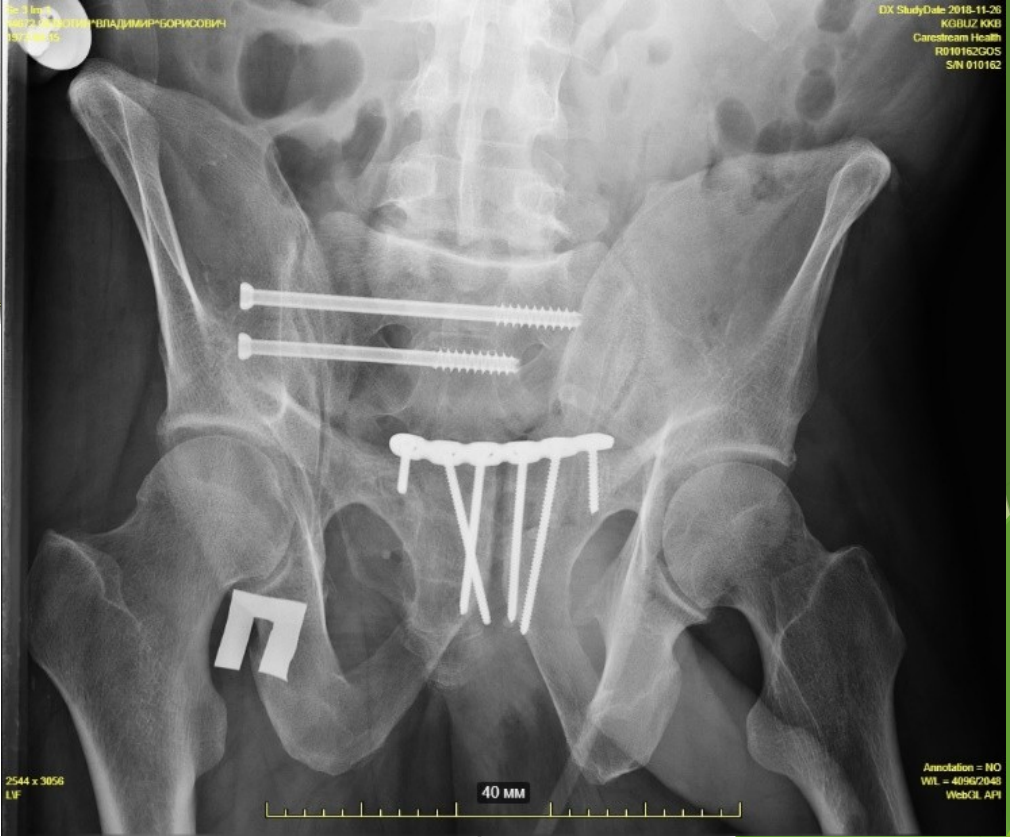


2544 x 3056
L/F

40 MM

10/1/2018 11:26
672 СЕВЯТИН ВЛАДИМИР БОРИСОВИЧ
07/3-04-15

DX Study Date: 2018-11-26
KGBUZ KKB
Carestream Health
R010162005
SN 010162



2544 x 3056
L/F

40 MM

Annotation = NO
W/L = 4096/2048
WebGL API

Se 1 Im 1
36785 Куларенко*Алексей Алексеевич
197708-19

CR Study Date 2018-10-31
Krasnoyarsk Regional Hospital
Carestream Health, Inc.



4048 x 4932

Изображение уменьшено по каждой оси в 2 раза

40 MM

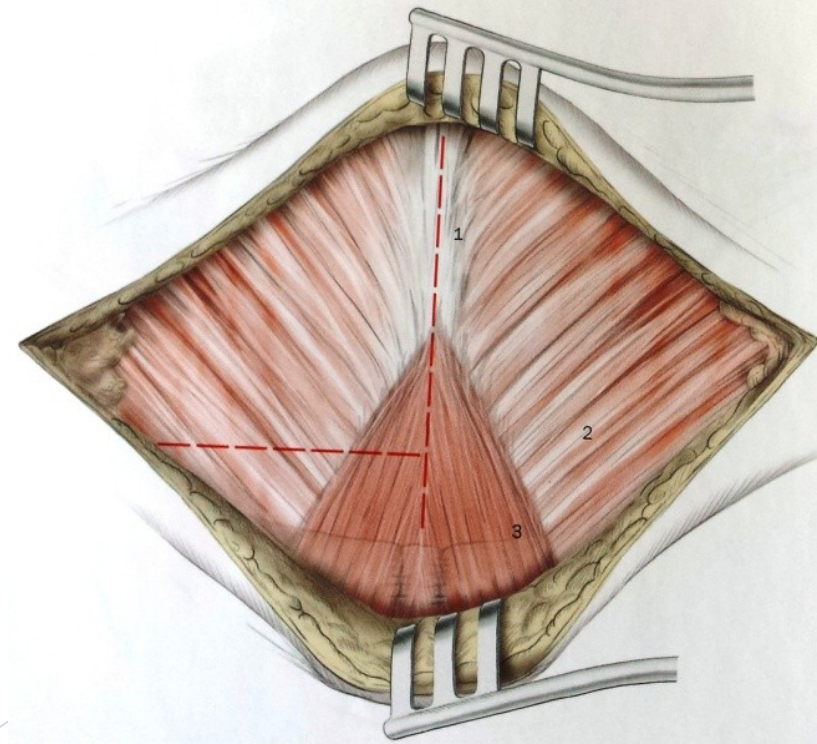
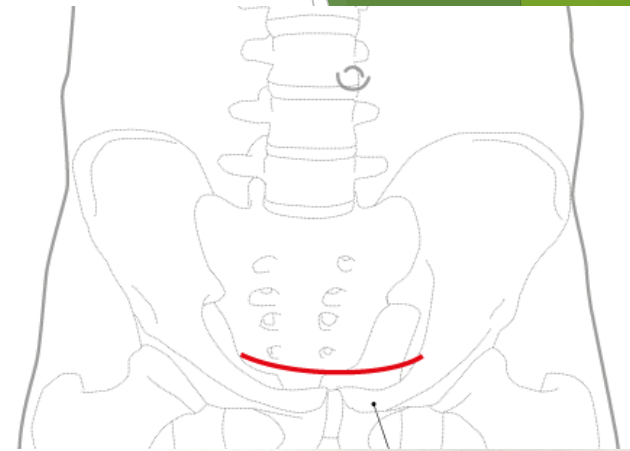


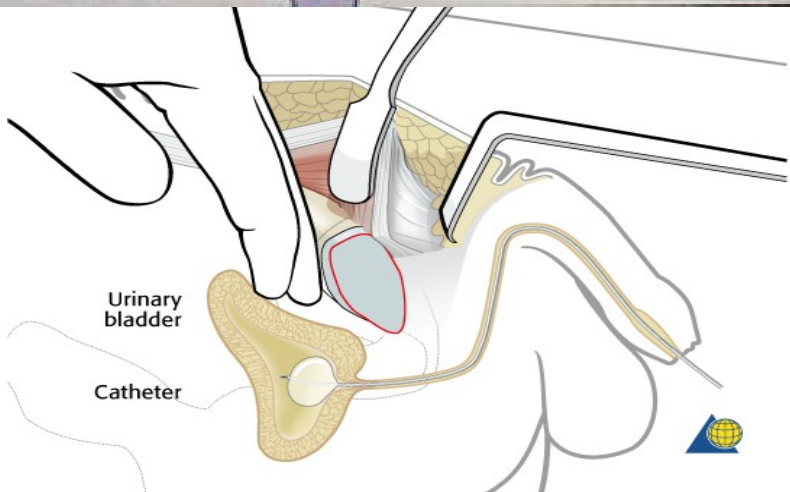
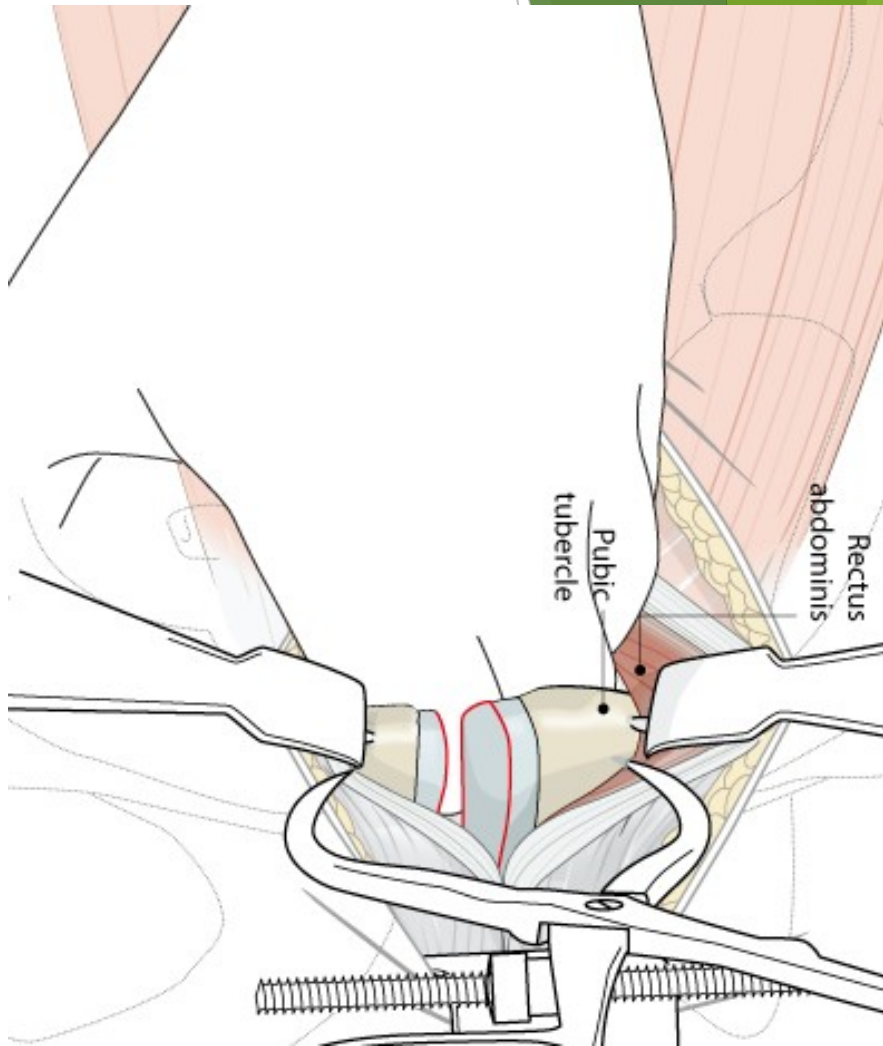
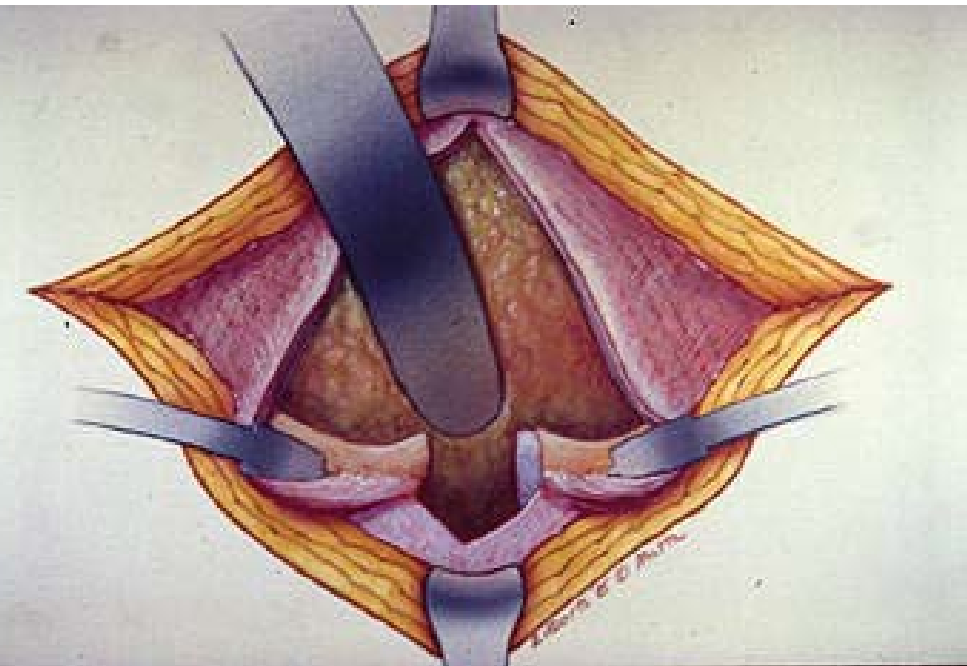
WIL = 3571/2336
WebGL API



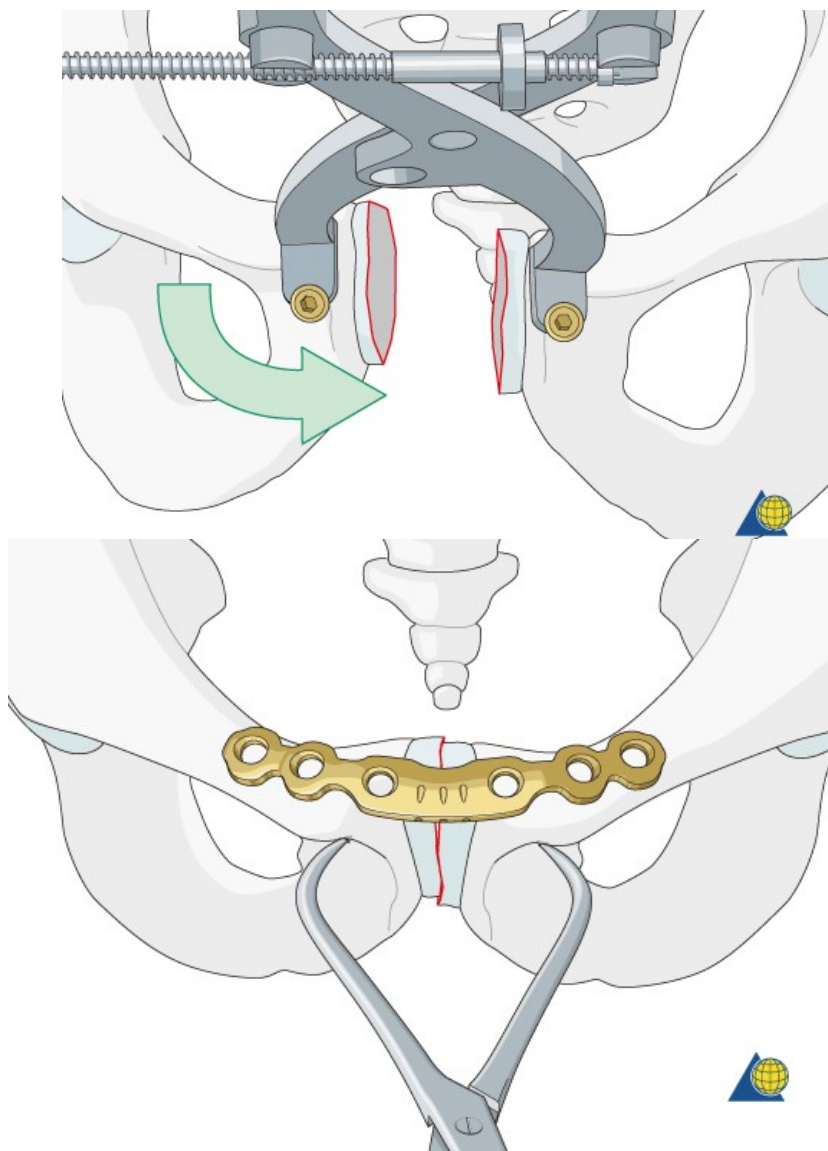
Хирургический доступ к передним отделам

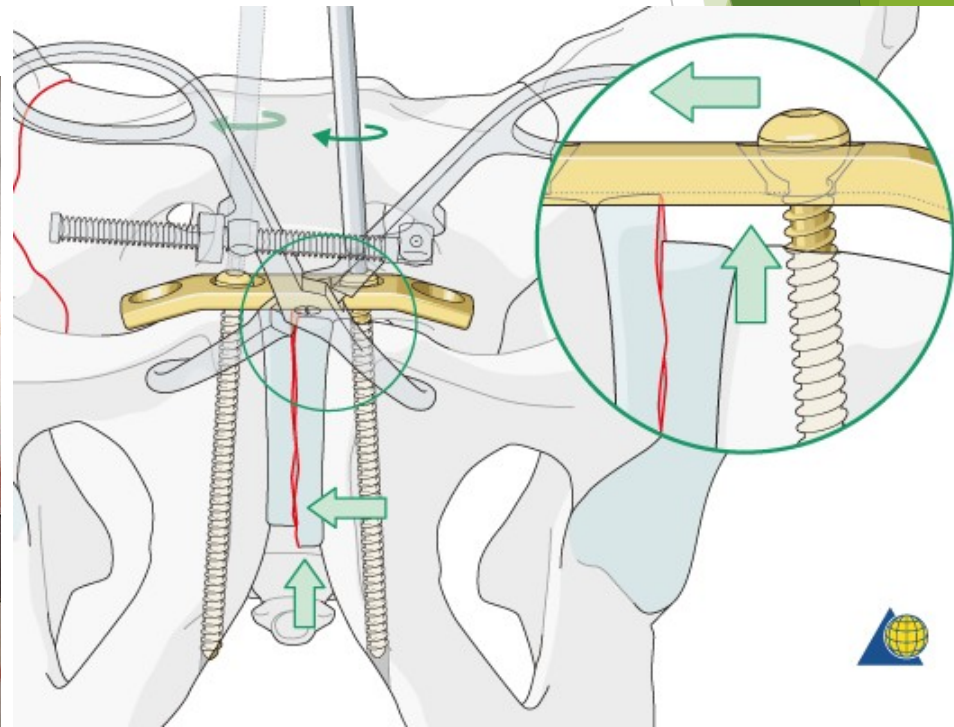
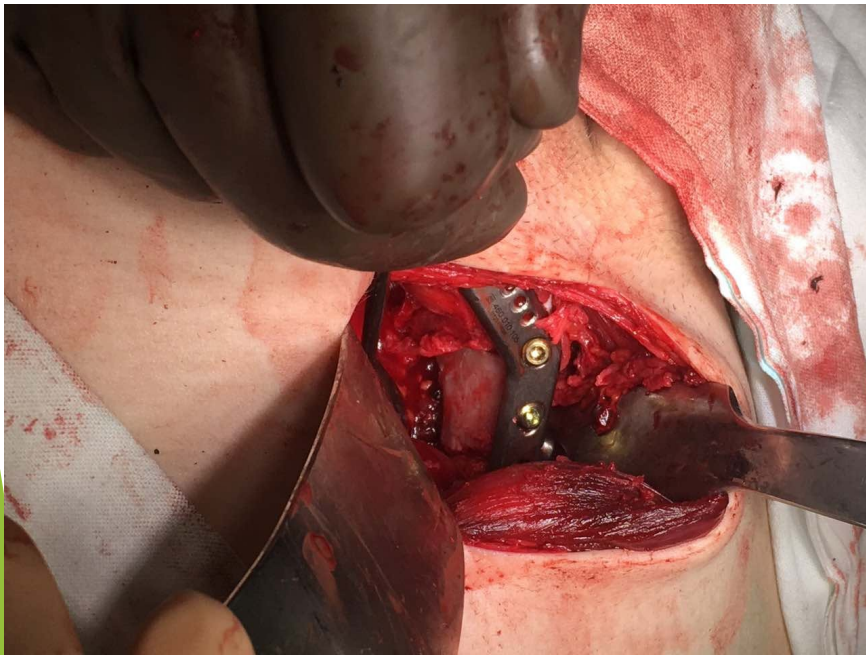
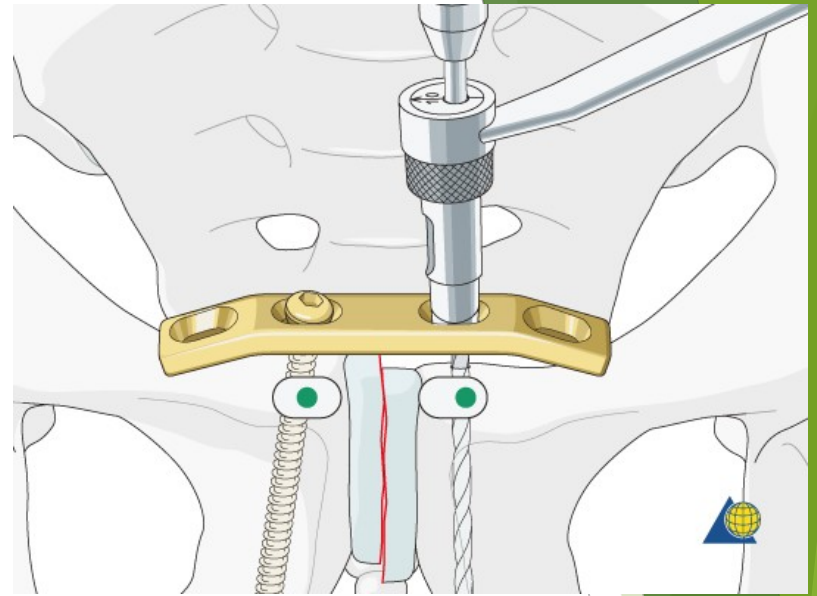
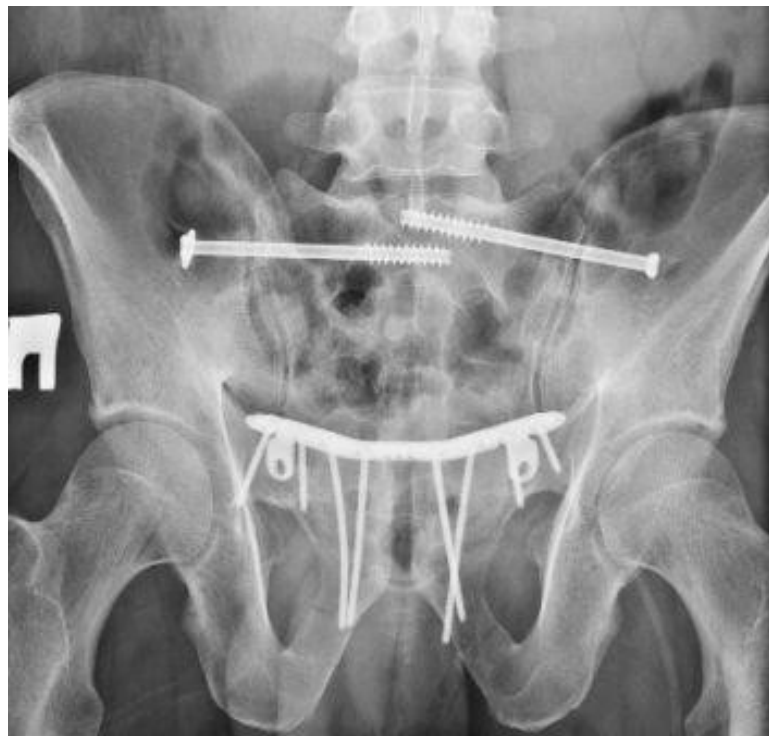
► Доступ Pfannenstill



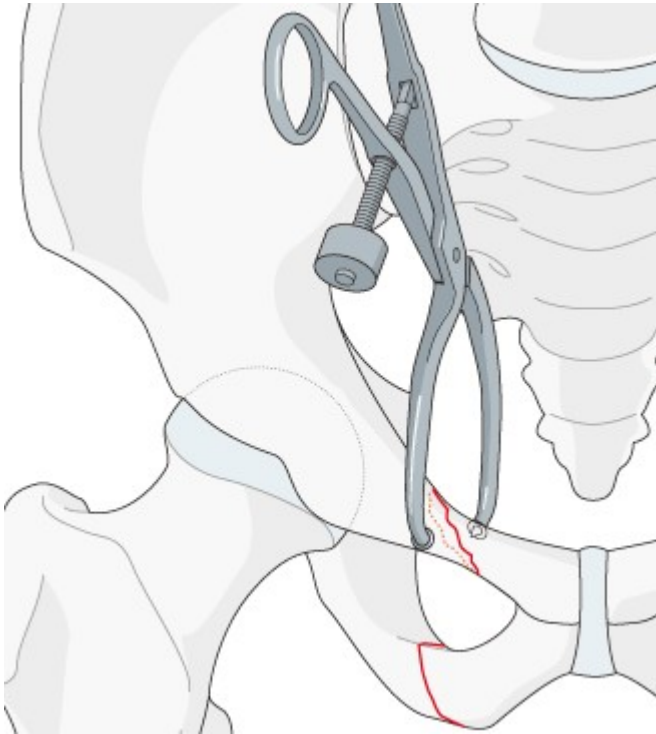


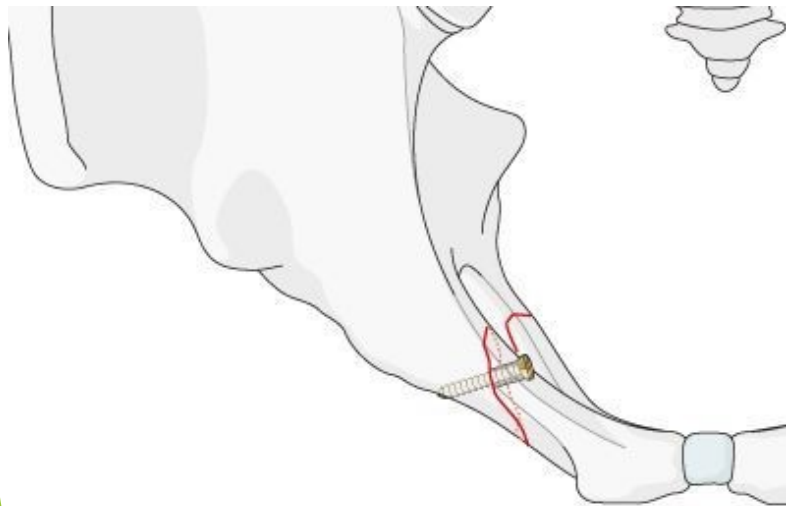
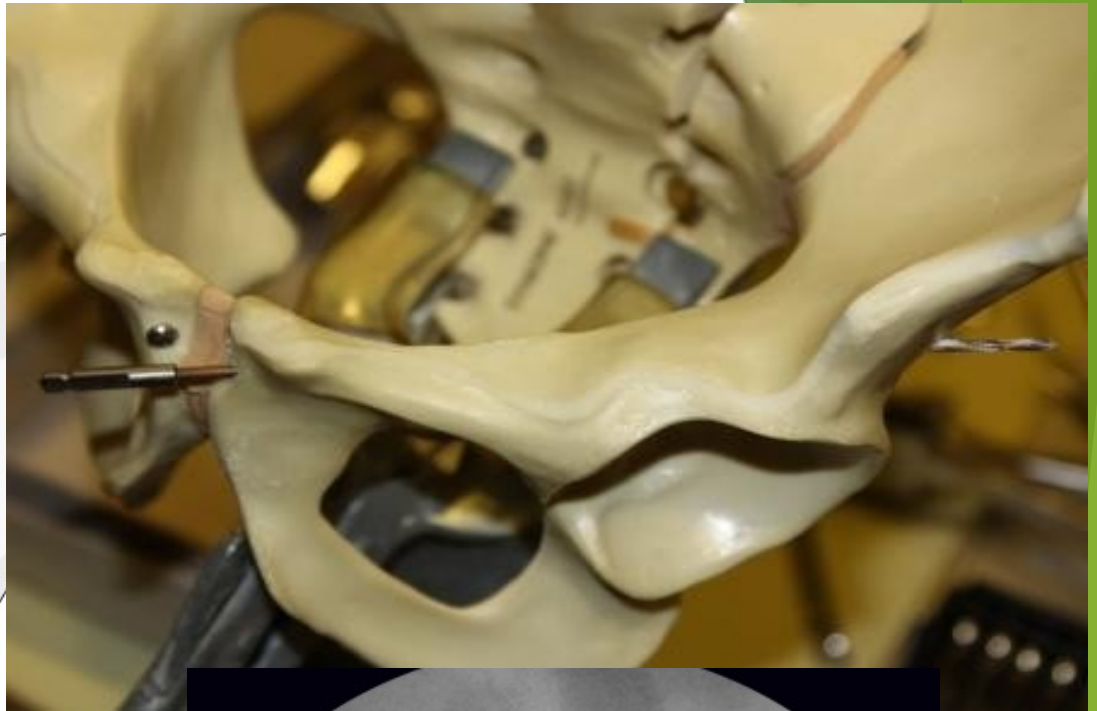
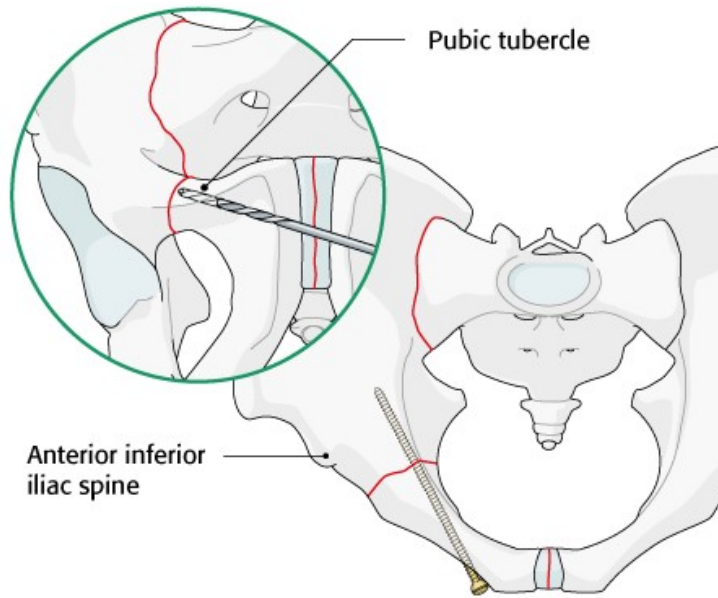
Техника репозиции и фиксации лонного симфиза

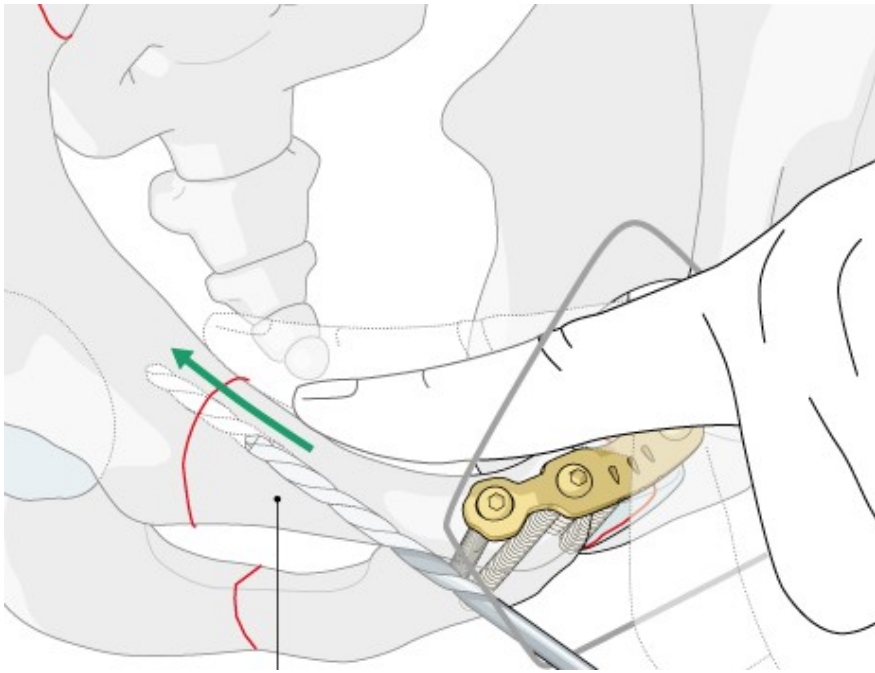


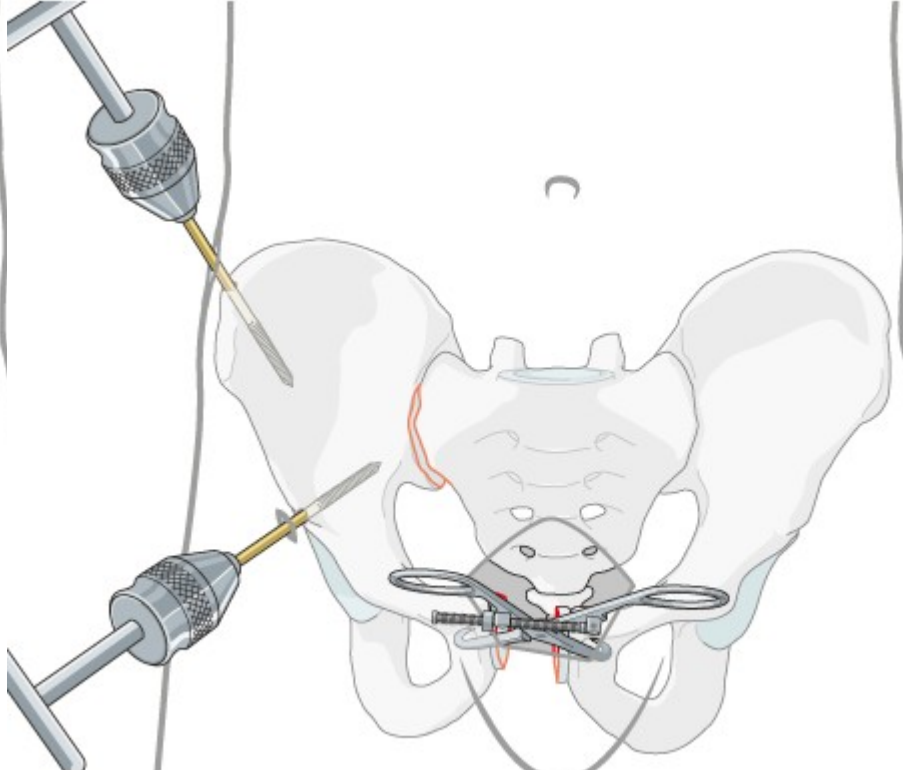
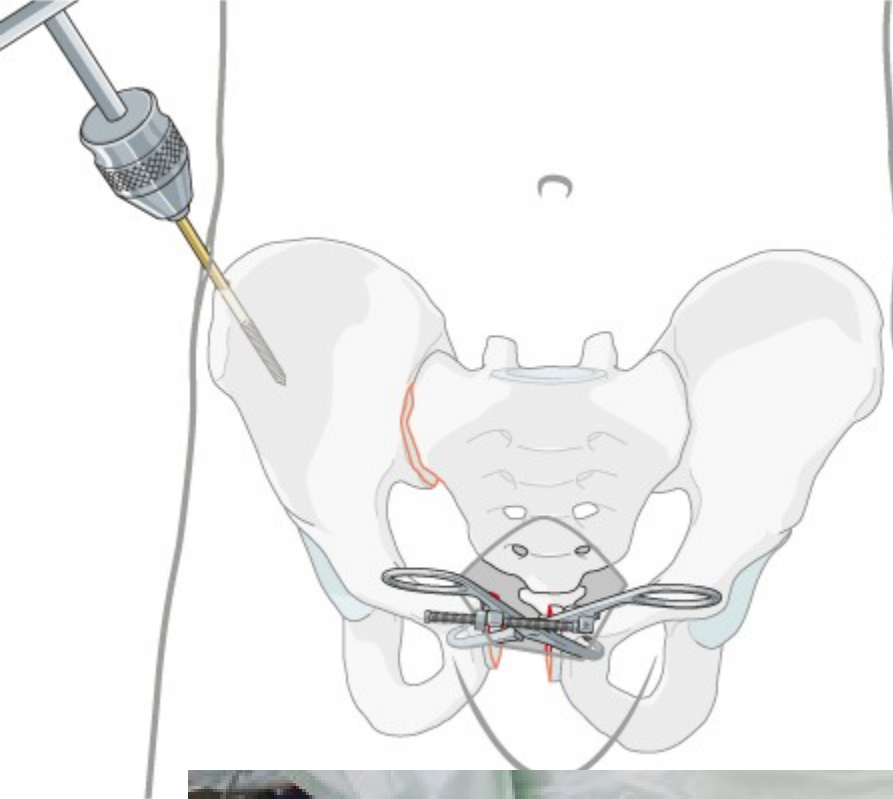


Техника репозиции и фиксации переломов лонных ветвей

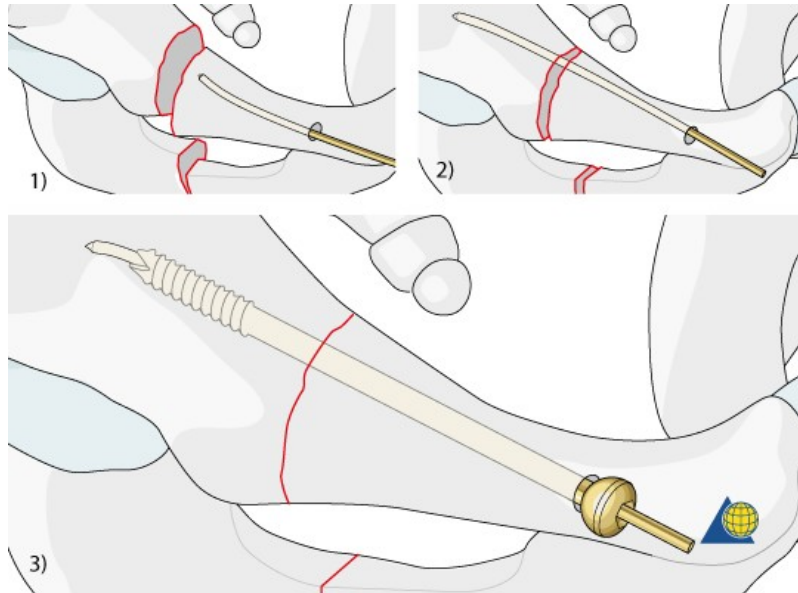




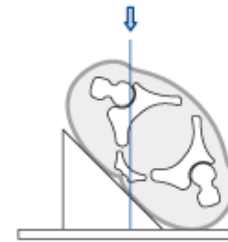




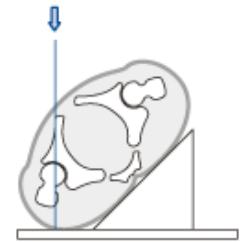
Малоинвазивная фиксация передних отделов таза



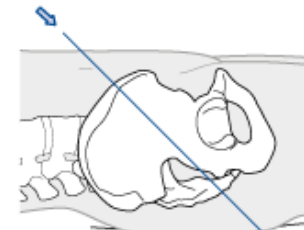
Obturator view



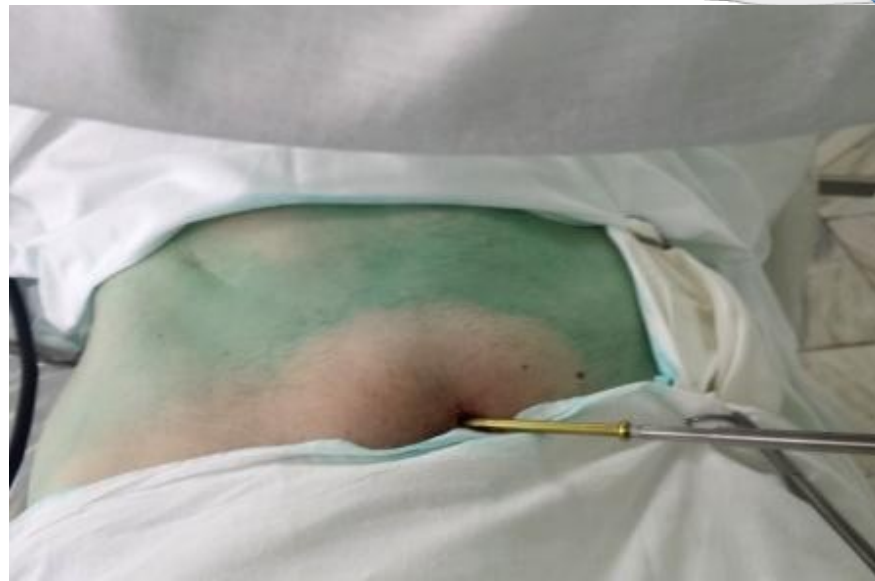
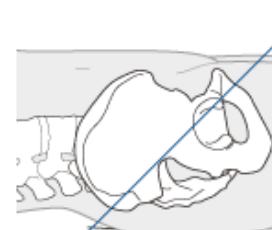
Iliac wing view



Inlet view



Outlet view

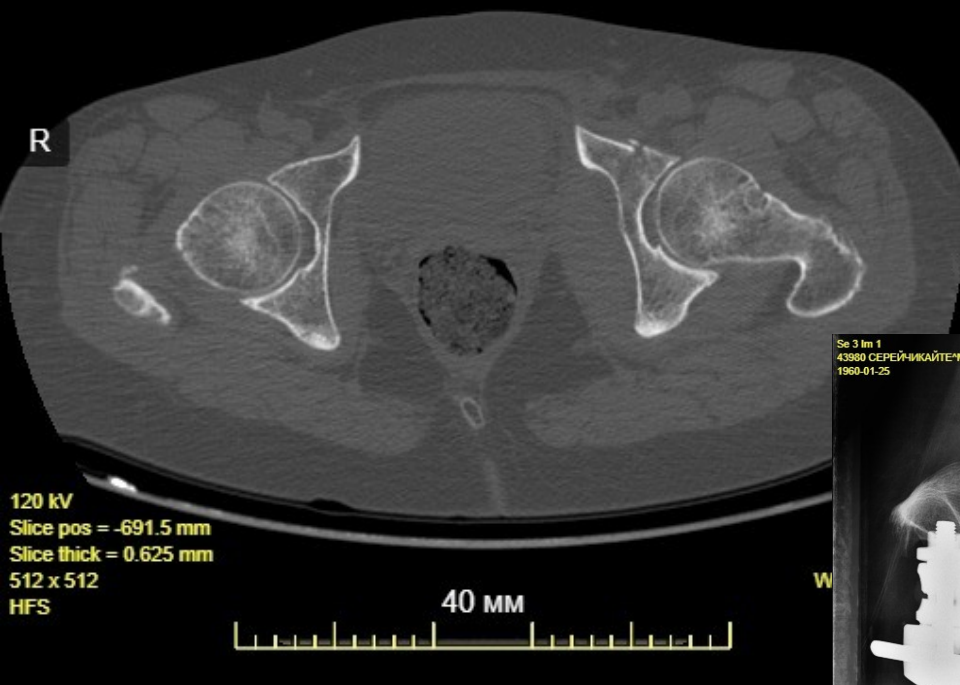




Se 8 Im 953
34664 SEREJCHIKAJTE MARITE DOMINIKO
1960-01-25
5504

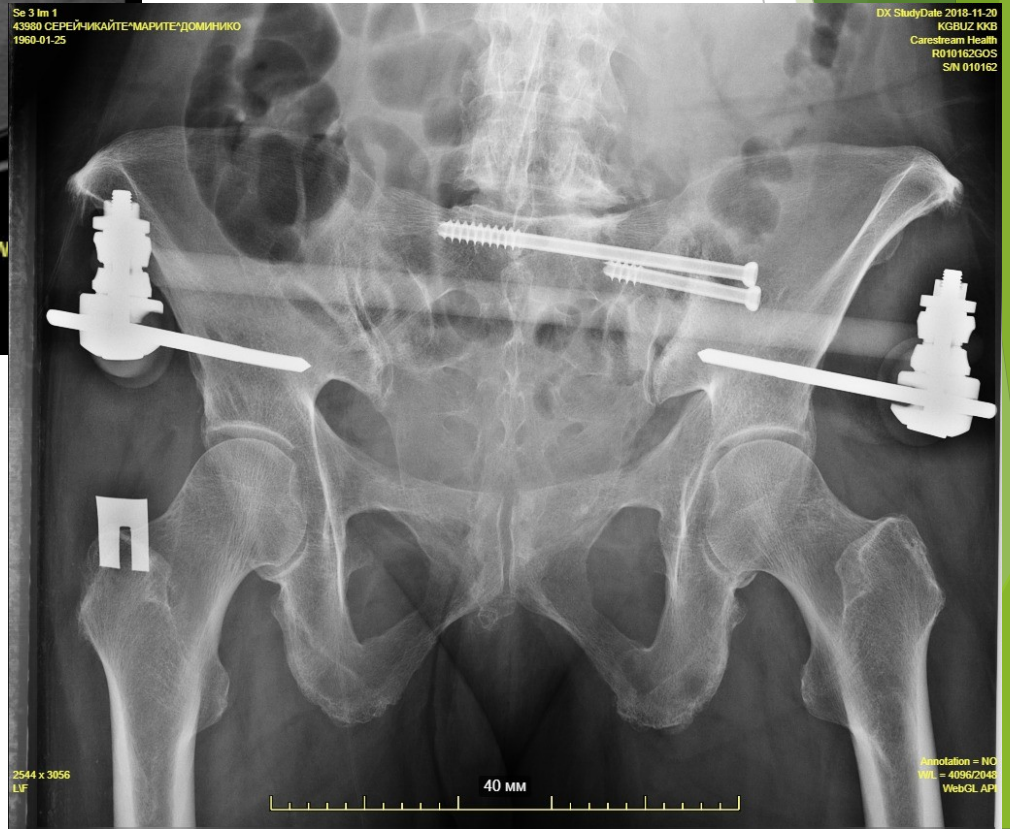
A

CT StudyDate 2018-11-15
Krasnoyarsk, Kraev. Klinich. Boln.
GE MEDICAL SYSTEMS
vcl
S/N *



Se 3 Im 1
43980 СЕРЕЖИКАЈТЕ МАРИТЕ ДОМИНИКО
1960-01-25

DX StudyDate 2018-11-20
KGBUZ KKB
Carestream Health
R010162GOS
S/N 010162



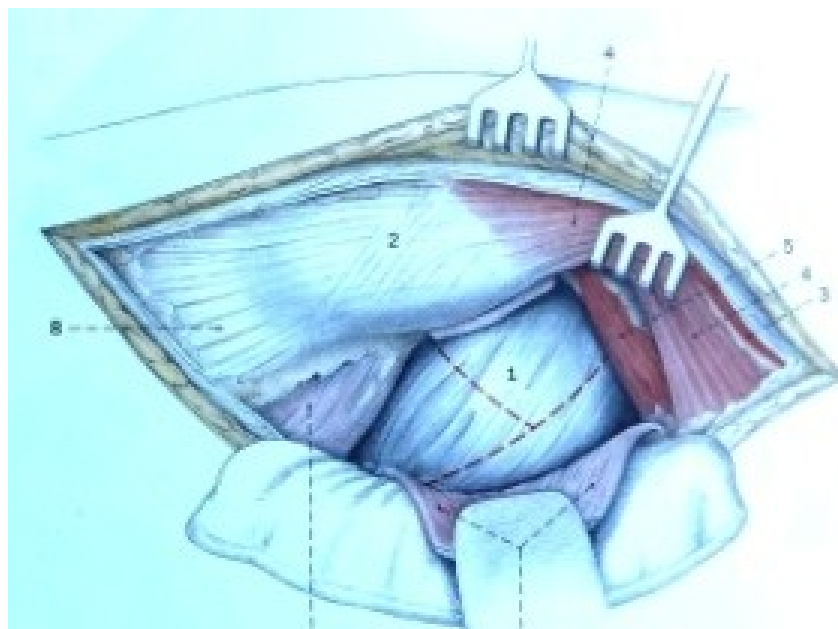
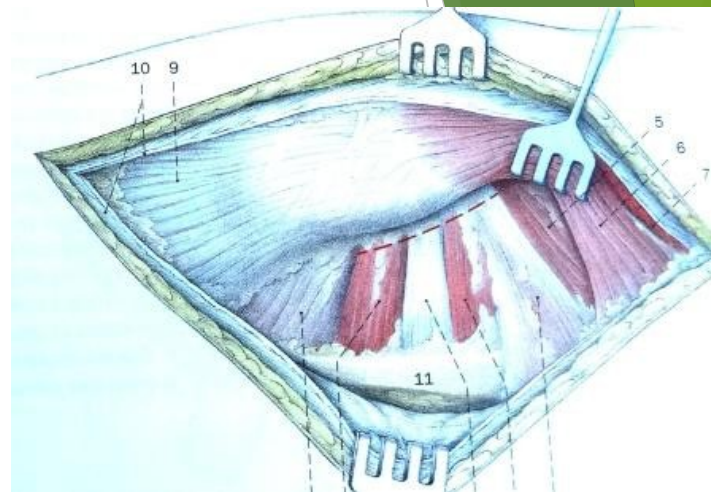
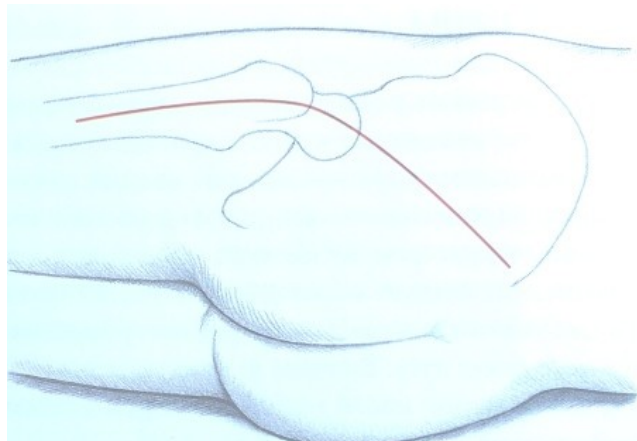
2544 x 3056
LIF

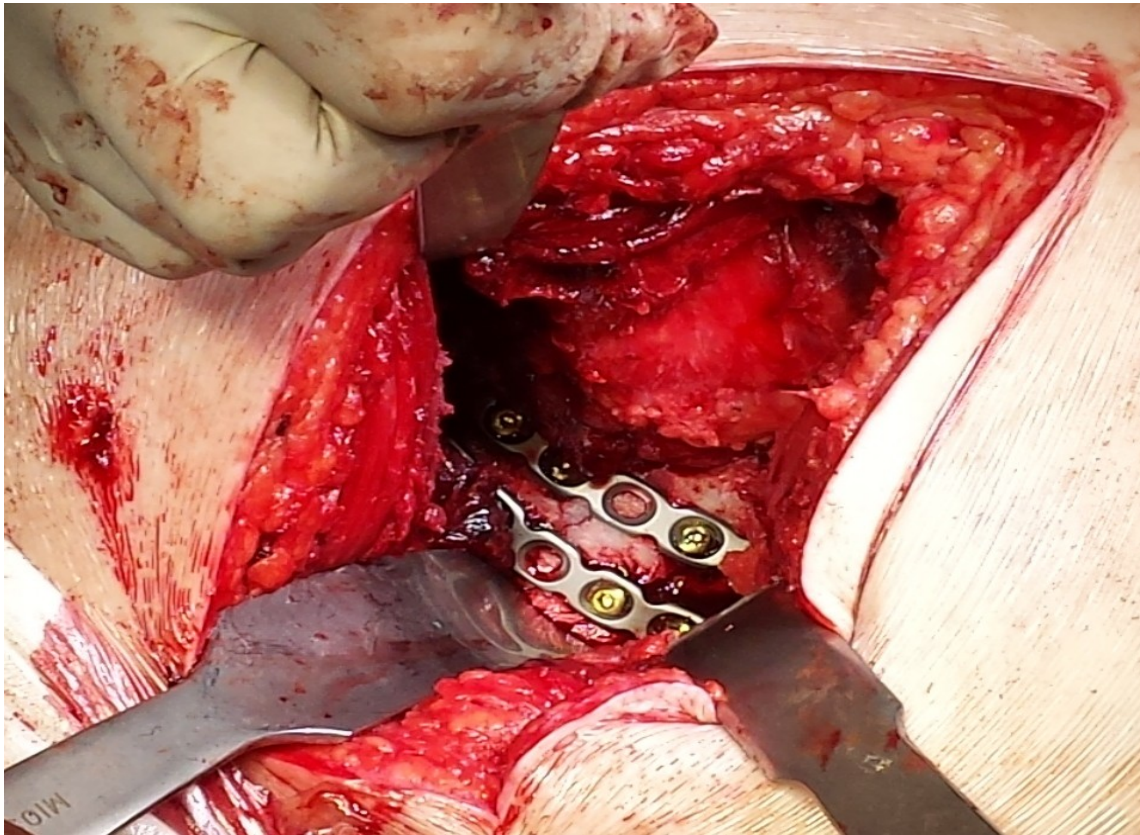
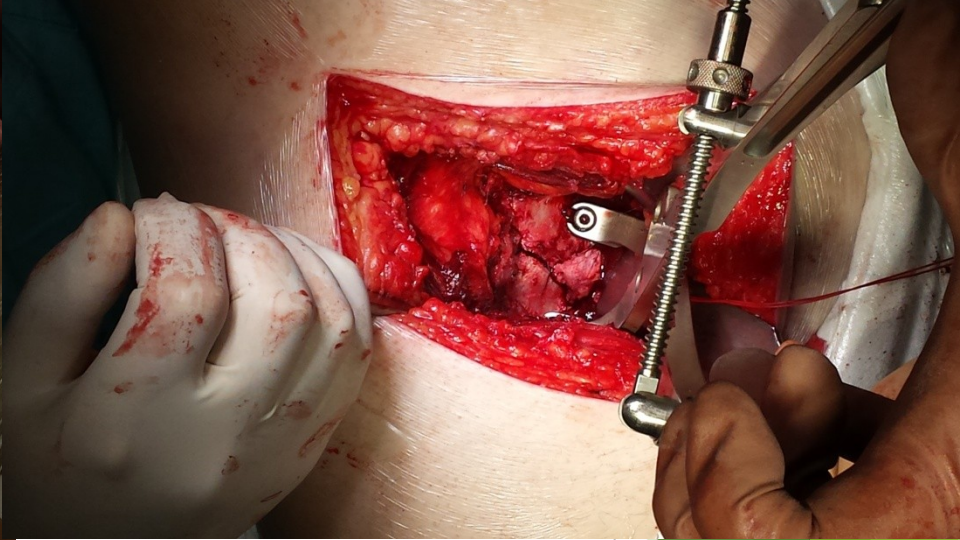
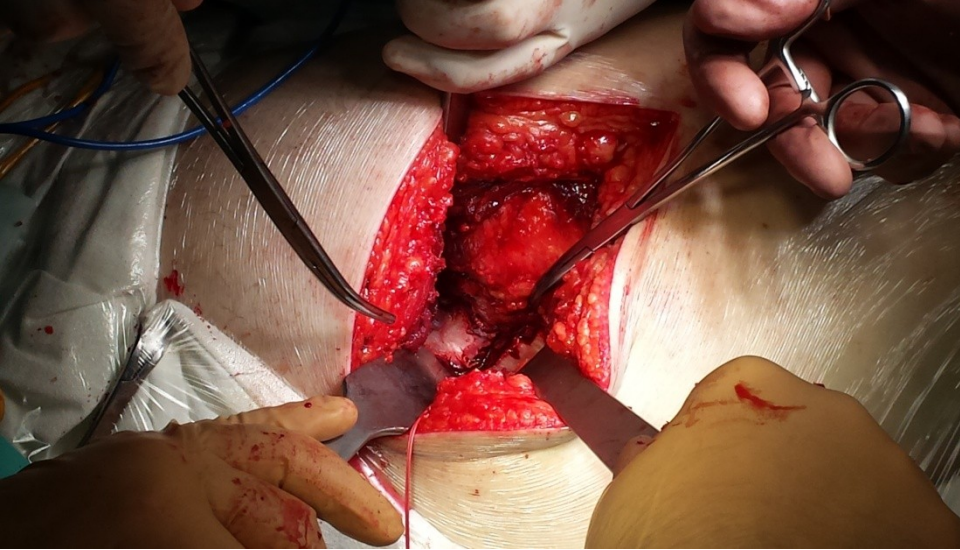
Annotation = NO
WL = 4096/2048
WebGL AP

Критические значения смещений костей таза для получения хороших результатов

- ▶ Сохраняющееся смещение задних отделов таза не более 0.5см
- ▶ Не более 1,5 см в передних отделах, в том числе в лонном сочленении не более 1см
- ▶ Ассиметрия тазобедренных суставов относительно крестца не более 2см
- ▶ Нестабильность тазового кольца при любой сохраняющейся деформации является показанием к коррекции

Доступ Кохера - Лангенбек





Se 701 Im 14
34564 ALIMOV KONSTAN. PETR.
1993-07-15
5467

CT StudyDate 2018-11-14
Krasnoyarsk Kraev.Klinich.Boln.
GE MEDICAL SYSTEMS
vcl
S/N *

ALF



918 x 1156
HFS

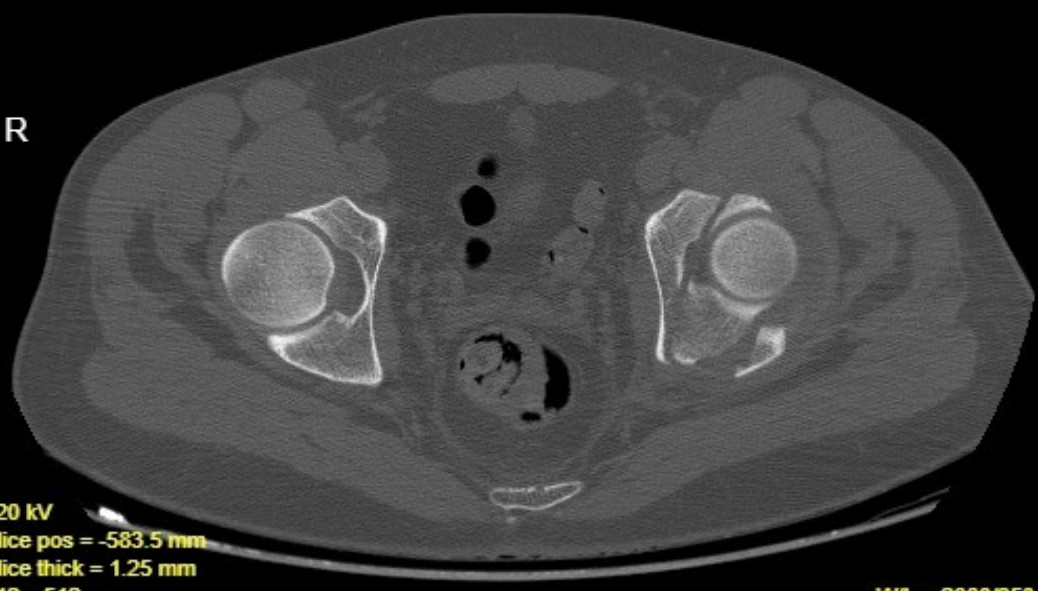
FP

Se 10 Im 497
34564 ALIMOV KONSTAN. PETR.
1993-07-15
5467

A

CT StudyDate 2018-11-14
Krasnoyarsk Kraev.Klinich.Boln.
GE MEDICAL SYSTEMS
vcl
S/N *

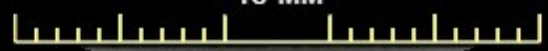
R



120 kV
Slice pos = -583.5 mm
Slice thick = 1.25 mm
512 x 512
HFS

40 MM

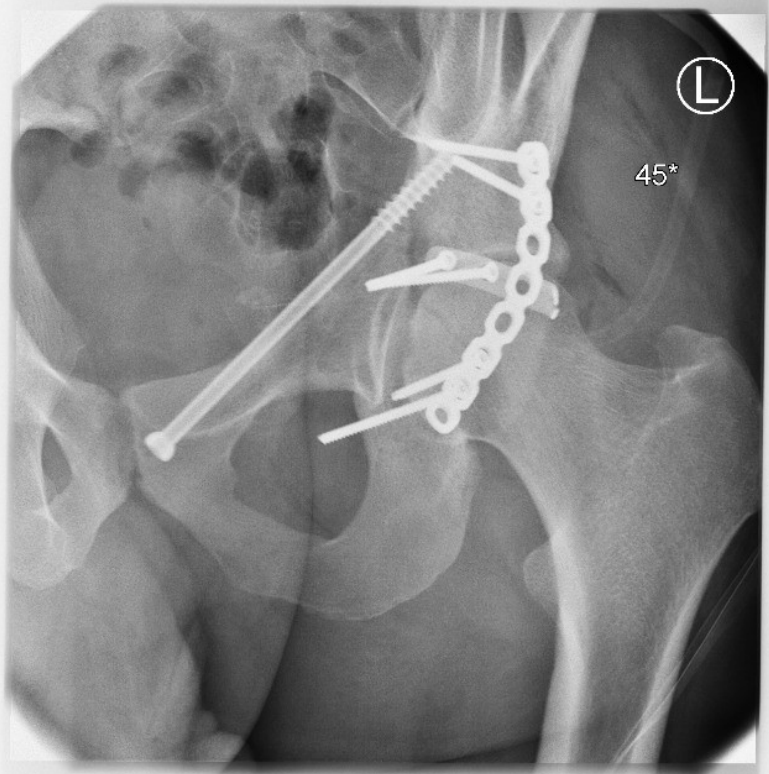
W/L = 2000/350
WebGL API





L

im 2
K3777 АЛИМОВ*КОНСТАНТИН*ПЕТРОВИЧ
1993-07-15



L

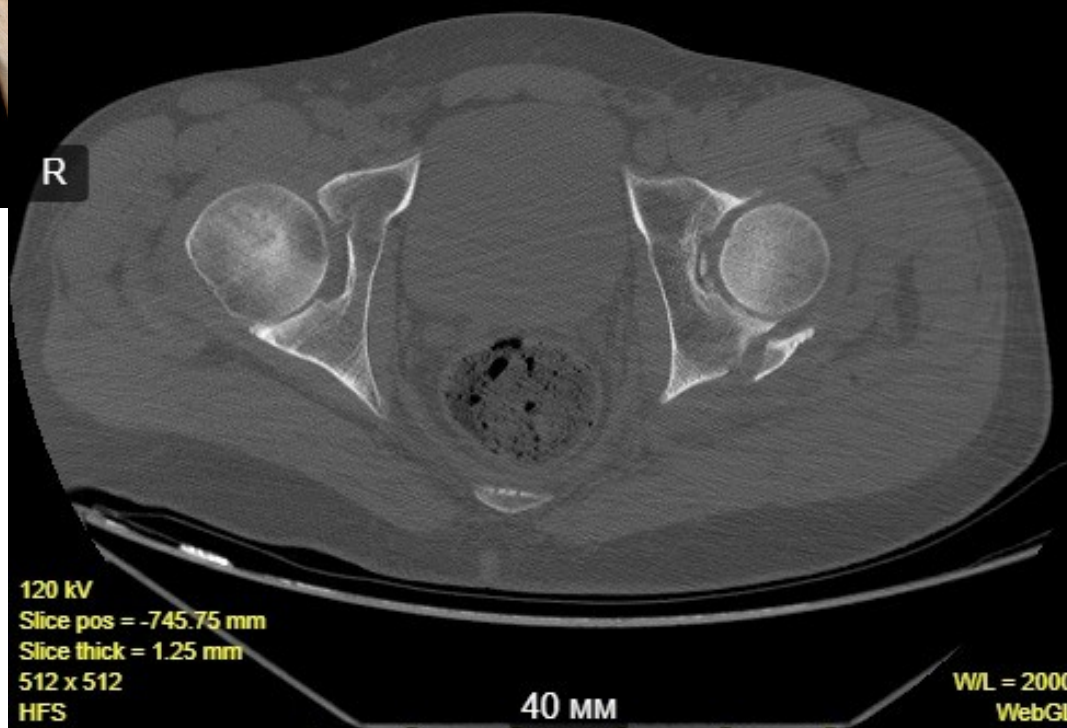


F

Se 10 Im 498
34109 POLUSON SERG. ALEKSANDR.
1982-03-15
5286

A

CT StudyDate 2018-11-08
Krasnoyarsk, Kraev. Klinich. Boln.
GE MEDICAL SYSTEMS
vcl
S/N *

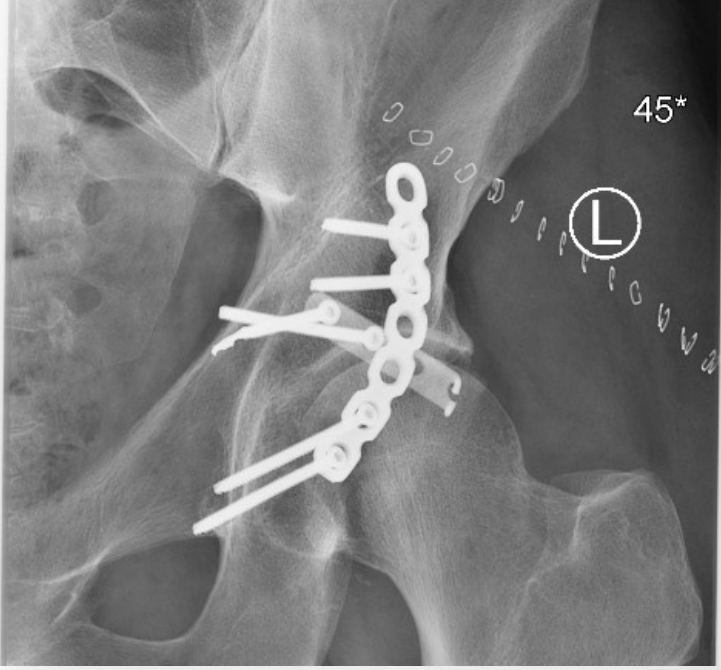


R

120 kV
Slice pos = -745.75 mm
Slice thick = 1.25 mm
512 x 512
HFS

40 MM

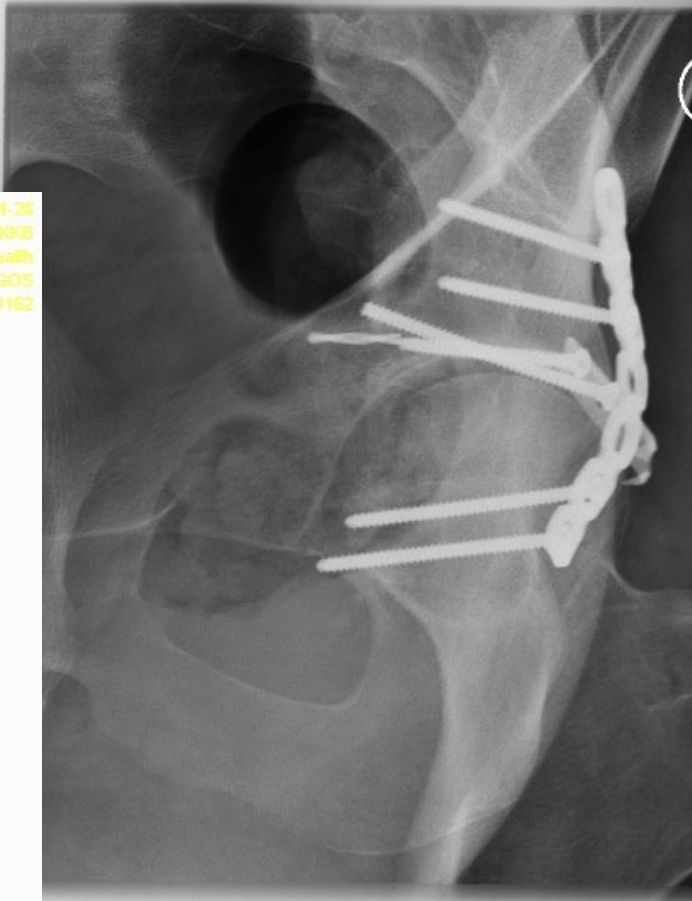
WL = 2000/35
WebGL AP



45*

L

Se 2 Im 1
42896 ПОЛУСОНСЕРТЕП АЛЕКСАНДРОВИЧ
1982-03-15



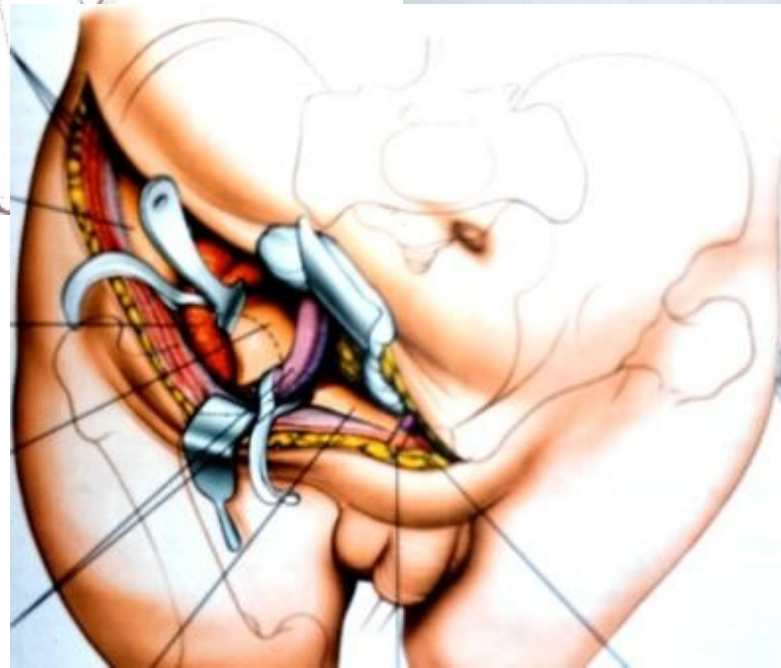
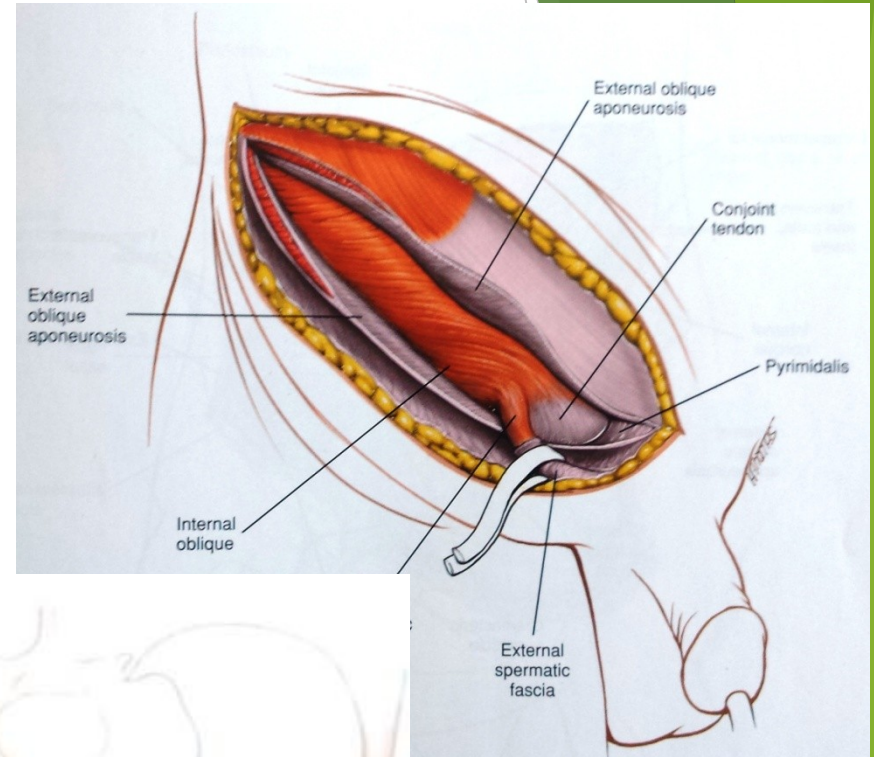
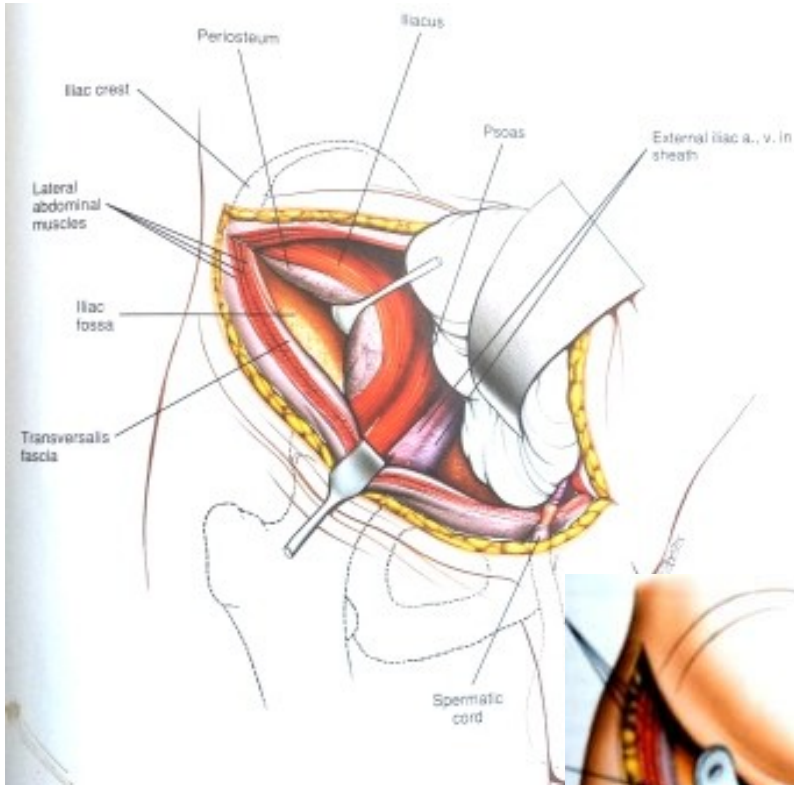
DX StudyDate 2018-11-26
KGBUZ KKB
Carestream Health
RD10 H2G05
SN 010162



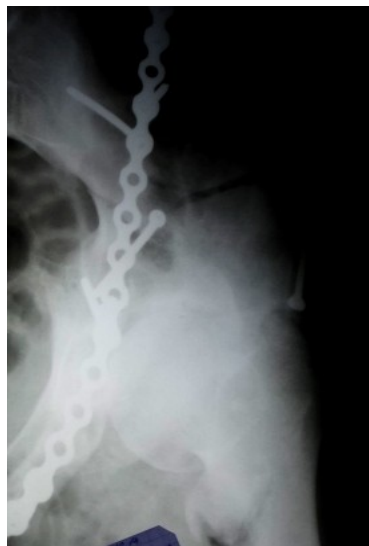
45*

L

Подвздошнопаховый доступ



Подвздошно-паховый



Подвздошно-паховый

